

بِسْمِ اللّٰهِ الرَّحْمٰنِ الرَّحِيْمِ



دانشگاه صنعتی اصفهان

دانشکده فیزیک

بررسی آواذر خش تک حبابی متحرک

پایان نامه کارشناسی ارشد فیزیک

محمد علی عسگریان

استاد راهنما

دکتر سید ظفرالله کلانتری



دانشگاه صنعتی اصفهان

دانشکده فیزیک

پایان نامه کارشناسی ارشد رشته فیزیک آقای محمد علی عسگریان

تحت عنوان

بررسی آودرخش تک حبابی متحرک

در تاریخ ۱۳۸۶/۱۱/۲۲ توسط کمیته تخصصی زیر مورد بررسی و تصویب نهایی قرار گرفت.

۱- استاد راهنمای پایان نامه دکتر سید ظفرالله کلانتری

۲- استد مشاور پایان نامه دکتر محمدحسن علامت ساز

۳- استاد داور دکتر اکبر پروازیان

۴- استاد داور دکتر فرهاد شهبازی

سرپرست تحصیلات تکمیلی دانشکده دکتر سید ظفرالله کلانتری



مَنْ عَلِمَنِي حَرْفًا فَقَدْ حَيَّنِي عَبْدًا

خداؤند بلند مرتبه را سپاس که توفیق عطا فرمود تا در راه رگام برداریم که همواره مسروع اولیا را بوده است. درود ببر پایان بر آندریسمندان را که مسیر دانست و پرورهش را با راهنمایی‌ها و روشنگری‌ها خود همواره پررونق نگاه داشته‌اند. همه دانست خود را مرحون بزرگواران را هستم که لازم‌گذین روزهای زندگانی تا بدین لحظه، ولزه به ولزه زندگان را به من آموختند و بدین شیوه نهایت سپاس و قدر را نهادند خود را به ایشان عرضه مردارم. در راستار انجام این پروره در ابتدا لازم‌هایت و راهنمایی‌استاد گرانقدر و گرامی جناب آقادر دکتر کلانتر کمال تکفیر را دارم. برگمان آنکه در ایشان در انتخاب این پروره و پستیبانی‌ها و راهنمایی‌های سردریگشان نبود، این پروره تحقیقاتی به این مراحل نمیرسید. لازم استاد مشاور این پروره جناب آقادر دکتر علامت‌ساز که رحیم بازخواهان را پایان نامه را بر عهده گرفتند و اساتید ارجمند جناب آقادر دکتر پرولازیان و دکتر شهیاز را که رحیم داور آن را تقبل فرمودند، سپاسگزار می‌نمایم. در پایان لازم‌یدر و مادر و همسر عزیزم و تمام دوستان را که همدلر و همکفر آنها در تمام لحظات یاور می‌بودند و مراد صمیمانه در این تلاش‌سپاری اسنودند سپاسگزار می‌کنم.

محمد علیرعسگریان

کلیه حقوق مادی مترقب بر نتایج
مطالعات، ابتكارات و نوآوری‌های ناشی از
تحقیق موضوع این پایان‌نامه
متعلق به دانشگاه صنعتی اصفهان است.

الله

تقدیمه به ساخته مقدسش
که دل‌هایی عاشقانش
به یاد و نام او می‌تپد.

تقدیمه به خون پاله شهد
آزاد مردانی که
آزادگی را برگزینند.

تقدیمه به پدر و مادرم که دل‌های خیرشان
همواره قرین راهم می‌گردند.

و همه هستیه تقدیمه به

همسرم

صفایش (نذرگیم).

فهرست مطالب

صفحه	عنوان
هشت	فهرست مطالب.
۱	چکیده.
	فصل اول: مقدمه
۲	۱- کشف آوارد خش تک حبابی.....
۷	۱- نگاهی تاریخی.....
۲۲	۱- ساختار پایان نامه.....
	فصل دوم: دینامیک سیالات درون بالون
۲۵	۱- به دست آوردن معادله رایلی-پلست.....
۲۸	۲- بهینه سازی های معادله رایلی-پلست.....
۳۱	۳- پاسخ حباب به تحریک های قوی و ضعیف.....
۳۳	۴- ربیش رایلی.....
۳۴	۵- مقایسه محاسبات حاصل از نظریه ها با آزمایش ها.....
۳۵	۶- گسیل موج صوتی از حباب.....
۳۷	۷- نیروی ژرکنس.....
	فصل سوم: مروری بر مدل های توصیف کننده فضای درون حباب
۴۱	۱- دینامیک گاز درون حباب.....
۴۲	۱-۱- مدل های غیر لرج.....
۴۳	۲-۱- مدل های اتلافی.....
۴۶	۳-۱- مدل های اتلافی با در نظر گرفتن بخار آب.....
۵۲	۲-۲- مدل های ساده.....
۵۲	۱-۲- گاز و اندروالس همگن بدون تبادل گرم و جرم.....
۵۳	۲-۲- گاز و اندروالس همگن همراه با تبادل گرم و جرم.....
۵۷	۳-۲- دماهای به دست آمده برای حباب، چقدر دقیق هستند؟.....
	فصل چهارم: گستره پارامتری آوارد خش تک حبابی
۵۹	۱- آستانه بلیک.....

۶۰.....	۲-۴ پایداری پخشی
۶۵.....	۳-۴ فرآیند تصفیه گازهای نجیب توسط حباب‌های آودرخشنده
۶۵.....	۱-۳-۴ مکانیسم
۶۸.....	۲-۳-۴ تعادل حباب در صورت وجود واکنش‌های شیمیائی
۷۳.....	۴-۴ پایداری شکلی
۷۳.....	۱-۴-۴ معادلات دینامیکی
۷۵.....	۲-۴-۴ ناپایداری پارامتری
۷۷.....	۳-۴-۴ ناپایداری پس‌جهشی
۷۹.....	۴-۴-۴ ناپایداری رایلی-تايلور
۸۱.....	۵-۴-۴ بستگی پارامتری ناپایداری‌های شکلی
۸۱.....	۴-۵ تأثیر متقابل تعادل پخشی و ناپایداری شکلی بر همدیگر
۸۳.....	۶-۴ دیگر مایعات قابل استفاده در SBSL و مایعات آلایش شده
فصل پنجم: بررسی آودرخشن تک‌حبابی متوجه	
۸۶.....	۱-۵ دینامیک شعاعی حباب
۸۸.....	۱-۱-۵ رفتار تک‌دما
۸۸.....	۲-۱-۵ رفتار غیرتک‌دما
۹۰.....	۲-۵ دینامیک انتقالی حباب
۹۰.....	۱-۲-۵ وابستگی فضایی میدان فشار تحریک کننده حباب
۹۱.....	۲-۲-۵ نیروهای وارد بر حباب
۹۹.....	۳-۵ نتایج
۹۹.....	۱-۳-۵ مسیر حرکت حباب
۱۰۲.....	۲-۳-۵ دمای حباب متوجه
۱۰۳.....	۳-۳-۵ سرعت انتقالی حباب
۱۰۵.....	۴-۳-۵ مقایسه نتایج مدل تک‌دما و غیرتک‌دما
۱۰۷.....	۵-۳-۵ تأثیر حرکت حباب بر شعاع و دمای حباب
۱۰۹.....	۴-۵ خلاصه و ارائه پیشنهاد
۱۱۲.....	پیوست (الف)
۱۱۶.....	مراجع

چکیده

آودرخش تک جبابی متحرک، در پی تلاش‌ها در جهت یافتن سیال‌های غیر از آب برای مشاهده آودرخش تک جبابی، کشف شده است و مطالعات بر روی آن به تازگی در حال انجام است. ویژگی اصلی این سیالات بالاتر بودن چسبندگی آنها در مقایسه با آب است. در این پایان‌نامه تلاش شده است تا با معروفی نیروهای وارد بر حباب آودرخشنده و به دست آوردن معادله حرکت حاکم بر آن، حرکت حباب را شبیه‌سازی کرده و ویژگی‌های مربوط به حرکت انتقالی آن را به دست آوریم. با جفت کردن این معادله حرکت با معادله رایلی-پلست و معادله مربوط به تغییرات دما و حل آنها از روش رانگ-کوتا، شبیه‌سازی حباب انجام می‌شود.

اصلی‌ترین ویژگی این حباب‌ها، حرکت دایروی یا بیضوی آنها در مرکز بالونی است که حباب آودرخشنده در آن ایجاد شده است. در بررسی عوامل تأثیرگذار بر این حرکت، مشخص می‌شود که وجود نیروهای تاریخچه‌ای است که باعث بروز چنین رفتاری از حباب آودرخشنده می‌شود و با حذف این اثرات از معادله حرکت حاکم بر حباب در شبیه‌سازی، حباب در مرکز بالون ساکن خواهد شد. یکی از نتایج اصلی به دست آمده در این شبیه‌سازی، افزایش دمای بیشینه حباب (در لحظه ربیش) با کاهش فاصله آن نسبت به مرکز بالون است. با توجه به رابطه مستقیم بین گسیل نور و این کمیت، همین نتیجه برای شدت نور گسیل شده نیز، قابل پیش‌بینی است. به عبارت دیگر به دست آورده‌ایم که شدت نور گسیل شده از حباب دارای نوساناتی است و بر این اساس معیاری برای آزمایش بر روی آودرخش تک جبابی متحرک ارائه کرده‌ایم.

برای توصیف ویژگی‌های داخلی حباب از دو مدل متفاوت تک دما و غیرتک دما استفاده می‌شود. تفاوت این مدل‌ها در نوع معادله حالت به کار رفته برای گاز درون حباب است. علاوه بر ویژگی‌های داخلی، ویژگی‌های انتقالی به دست آمده برای حباب نیز در این دو مدل متفاوت است. در این پایان‌نامه، اثرات ناشی از تغییر مدل به کار رفته در شبیه‌سازی نیز بررسی می‌شود. در پایان نیز با حذف معادله حرکت از شبیه‌سازی و مقایسه نتایج مربوط به حباب آودرخشنده متحرک با حباب ساکن، اثر حرکت انتقالی حباب را بر پارامترهای مهم در آودرخش همچون شعاع و دما، بررسی کرده‌ایم.

فصل اول

مقدمه

۱-۱ کشف آواردخش تک حبابی^۱

آواردخش تک حبابی در ۱۹۸۹ توسط فلیپ گایتان^۲ دانشجوی تحصیلات تکمیلی دانشگاه می‌سی‌پی که با لاری گرم^۳ کار می‌کرد کشف شد [۳-۱]. کرم نشانه‌هایی از گسیل نور را از یک تک حباب در ۱۹۸۵ دیده بود [۴]. او موضوع تر گایتان را، تحقیق سیستماتیک بر روی این پدیده تعیین کرد. گایتان آزمایش‌هایی را بر روی نوسان و رمبش^۴ حباب‌ها انجام داد. او از یک بالون پر از مایع استفاده کرد که مبدل‌هایی^۵ به دو طرف آن وصل شده بود. این مبدل‌ها یک موج ایستاده صوتی با بسامدی برابر با بسامد تشیدی بالون ایجاد می‌کردند. اگر دامنه فشار امواج صوتی P_a بزرگ‌تر از فشار اطراف حباب $P_0 = 1\text{ bar}$ شود، فشار درون بالون منفی می‌شود و مایع تحت کشش قرار می‌گیرد. اگر این کشش به حد کافی بزرگ باشد، مایع به صورت تکه تکه پاره می‌شود (حفره‌سازی^۶) و ابرهای حبابی ناپایداری به وجود می‌آیند که حباب‌های درون این ابرها ساختاری شاخه‌ای دارند. این ابرهای ناشی از

^۱ Single-Bubble Sonoluminescence

^۲ Felipe Gaitan

^۳ Larry Crum

^۴ Collaps

^۵ Transducer

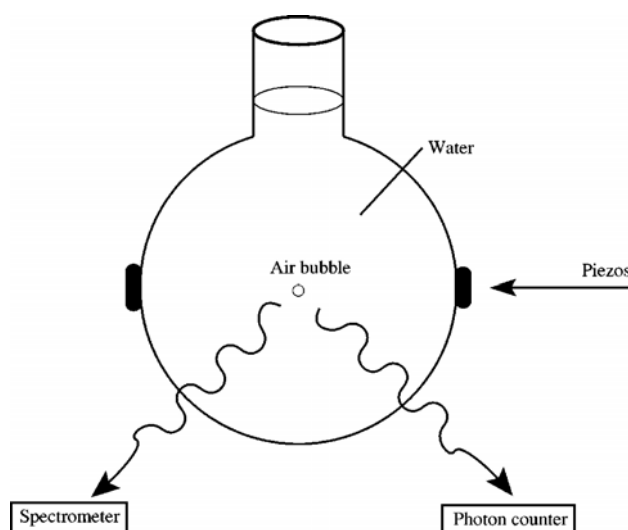
^۶ Cavitation

حفره‌سازی با قدرت عجیبی می‌رمند. این قدرت به حدّی قوی است که می‌تواند سطوح اجسام جامد نزدیک حباب را تخریب کند.



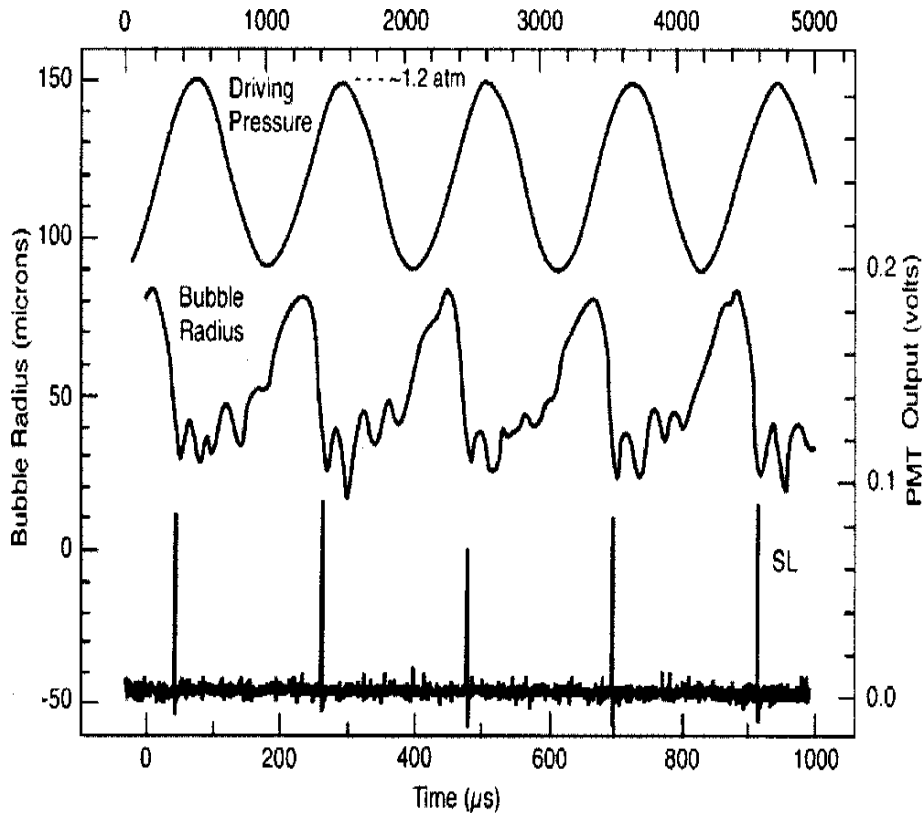
شکل (۱-۱): حباب آواردراخشنده نقطه واقع در مرکز ظرف، حباب گسیلنده نور است [۶].

گایتان در تحقیقاتش بر روی آواردراخشن تک‌حبابی، به سازوکاری دست یافت که در آن فشار محرک $P_a / P_0 \approx 1,2 - 1,4$ بود و آب درون بالون تا حدود ۲۰٪ غلظت اشباعش از هوا، گاززدایی شده بود. در این سازوکار مشاهده کرد که "با افزایش فشار، میدان صوتی، مایع را گاززدایی کرده و تعداد حباب‌ها را تا جایی کاهش می‌دهد که باریکه‌های ناشی از حفره‌سازی بسیار نازک شده و تنها یک تک‌حباب باقی بماند. شعاع این حباب به طور تخمینی $20 \mu m$ و به گونه‌ای قابل توجه، مکان، شکل و اندازه آن پایدار بوده و به نظر می‌رسد در مُدی کامل‌شعاعی نوسان می‌کند. با کم کردن روشنایی اتفاق، در مکان حباب، نقطه سبز درخشنانی را به اندازه یک سرسوزن، با چشم غیر مسلح می‌توان دید" [۳]. سازوکار این آزمایش در شکل (۱-۱) نشان داده شده و طرح کلی آن در شکل (۲-۱) آورده شده است.



شکل (۲-۱): نمای کلی سازوکار تولید کننده حباب‌های آواردراخشنده.

کارهایی که قبل از گایتان بر روی حباب‌های گسیلنده نور انجام شده بود، مربوط به حباب‌های ناپایداری بود که تعداد زیادی از آنها، همزمان ایجاد شده و از بین می‌رفتند. با به کار بردن پراکندگی مای^۱ برای ردیابی انقباض‌ها و انبساط‌های حباب [۳-۱]، گایتان و همکارانش نشان دادند که تک حباب تولید شده در سازگان آنها که در مکان ثابتی در شکم فشاری ناشی از میدان فرماصوتی درون حباب جای گرفته است، دستخوش نوسان می‌شود. بسامد نوسان حباب f ، از مرتبه صوت سینوسی محرک (معمولًا 40 kHz - 20 kHz) است. دینامیک شعاعی حباب به شدت غیر خطی است. شعاع ناواذاشته (محیطی) حباب R ، معمولاً حدود $5\text{ }\mu\text{m}$ است. در هر دوره بسامد یک بار، حباب با سرعت بسیار بالایی از شعاع بیشینه $R_{\max} \approx 50\text{ }\mu\text{m}$ به شعاع کمینه $R_{\min} \approx 0.5\text{ }\mu\text{m}$ می‌رمد و حجمش حدود یک میلیون برابر کوچک‌تر می‌شود [۵]. شکل (۳-۱)، فشار محرک، شعاع و شدت نور را (از بالا به پایین) نشان می‌دهد [۶]. پس از گسیل نور، نیروی پس‌زنی ناشی از رمبش شدید، باعث انبساط حباب می‌شود. با اندازه‌گیری فاز گسیل نور نسبت به فاز صوت محرک، مشاهده می‌شود که این فرآیند با دقت فوق العاده‌ای تکرار می‌شود.



شکل (۳-۱): شعاع ($R(t)$ ، فشار محرک ($P(t)$) و شدت نور ($I(t)$) اندازه‌گیری شده توسط گایتان و همکارانش [۶]. فشار تحریکی منفی باعث انبساط حباب می‌شود؛ با تغییر علامت فشار تحریکی، رمبش رخ داده و با ظاهر شدن پالس کوچک نور، SL رخ می‌دهد. فرآیند گسیل نور از حباب‌های رمبندی که توسط امواج صوتی تحریک می‌شدند، بسیار پیش از این، آوارد خشن (SL) نامیده شده بود. از آن جایی که پژوهشگران با پژوهش‌های انجام شده بر روی توان تمرکز انرژی ابرهای ناشی

^۱ Mie

از حفره‌سازی، آشنا بودند و کسانی همچون فِرْنِزِل^۱ و شوُلتْز^۲ (۱۹۳۴)، نشان داده بودند که این ابرهای ناشی از حفره‌سازی به میزان کمی از خود نور گسیل می‌کنند [۷]، نتایج این پژوهش‌ها غافلگیر کننده بودند. کمی پیش‌تر از این مورد مارینسکو^۳ و تریلات^۴ (۱۹۳۳) هنگام بخار گرفتن صفحات عکاسی در حمام فراصوتی، دلیل غیرمستقیمی برای این فرآیند پیدا کرده بودند [۸]. اگر شدت رمبش‌های ابر، برای شکستن پیوندهای مولکولی درون یک جامد، کافی باشد، باعث خوردگی حفره‌ای می‌شوند [۹]. این توان بالای تمرکز انرژی ناشی از تکینگی‌ای است که هنگام رمبش حباب وجود دارد [۱۰]: با برقرار بودن قانون بقای جرم، نیروهای داخلی باعث می‌شوند که سرعت دیواره حباب از سرعت صوت در مایع فراتر رفته و فضای درون حباب، به طور ناگهانی گرم شود. برای جامعه مهندسین، جنبه مکانیک سیالات این فرآیند، همیشه جذاب‌تر از ویژگی تولید تابش آن بوده است. دلایل فراوانی برای این گفته وجود دارد: مردم دوست دارند که بفهمند چگونه می‌توان از خوردگی حفره‌ای پیشگیری کرد و یا این که چگونه می‌توان تمرکز انرژی را مهار کرد. اگر چه از لحاظ تاریخی، گسیل نور در اندازه‌گیری ویژگی‌های حفره‌سازی مفید بوده است، تا پیش از گایتان(شناخت آواردراخش تک‌حبابی *SBSL*)، اهمیت گسیل نور مورد بررسی قرار نگرفته بود.

در خشش تک‌حباب بی‌درروی گایتان، شور عظیمی در جامعه علمی افکند؛ این شور و شوق را با نگاهی سطحی هم می‌توان دید. هر چند گسیل نور از ابرهای معمولی ناشی از حفره‌سازی (که اکنون آواردراخش چندحبابی *MBSL*^۵ نامیده می‌شود؛ مراجع ۱۱، ۱۲ و ۱۳ را ببینید) هم قابل مشاهده است، لیکن در این مورد هیچ حباب پایداری را نمی‌توان جداگانه شناسایی کرد. انگیزه پژوهش بر روی آواردراخش تک‌حبابی توسط آزمایش‌هایی پدید آمده است که گروه سمت پاترمن^۶ در *UCLA* از سال ۱۹۹۱ تا ۱۹۹۷ بر روی آن انجام داده‌اند. ویژگی‌های بررسی شده در این آزمایش‌ها، تفاوت‌های زیاد بین آواردراخش تک‌حبابی و چندحبابی را نشان می‌دهند. آیا برای این تفاوت‌ها (افزون بر موردنی که دلیل آن را مکانیسم رمبش لرد رایلی^۷ در ۱۹۱۷ پیدا کرد) پاسخ‌های فیزیکی جدیدی وجود دارد؟ کنترل بهتر آواردراخش تک‌حبابی نسبت به همتای چندحبابی‌اش سبب شده است، مردم به انجام پژوهش‌های علمی خوب و دقیق و امکان ایجاد تکنولوژی‌های نوین برای مهار توان تمرکز انرژی در *SBSL*، امید داشته باشند.

^۱ Frenzel

^۲ Schultes

^۳ Marinesco

^۴ Trillat

^۵ Multibubble Sonoluminescence

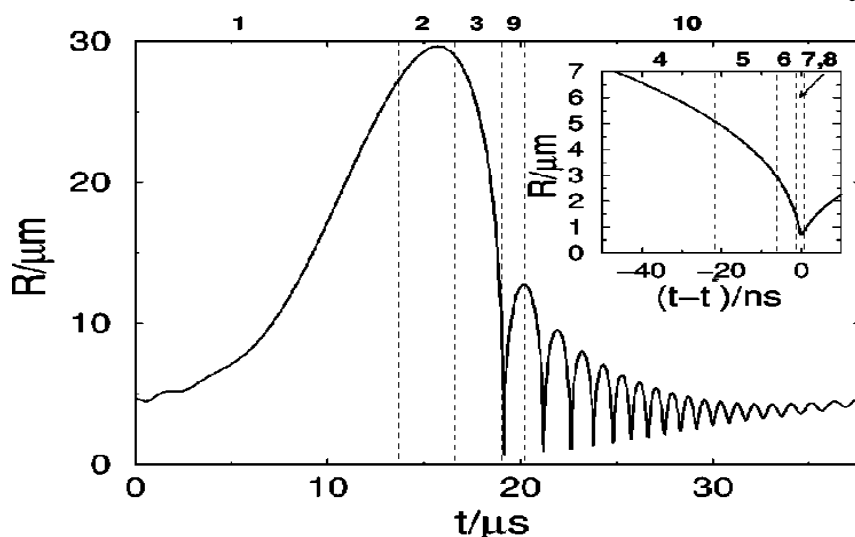
^۶ Seth Putterman

^۷ Lord Rayleigh

چنین انگیزه‌هایی در ابتدا سبب شدند که درباره شرایط بسیار شگفت‌انگیز درون حباب، همچون دما و فشار بسیار بالا، نظریه‌های بلندپروازانه‌ای پدید آید. حتی هالیوود نیز این انگیزه را پیدا کرد که فیلمی تهیه کند که ویژگی اصلی آن، ایجاد یک رآکتور همجوشی به وسیله یک تک حباب آوارخشی است. با گذشت زمان هر چه مدل‌ها کامل‌تر و ظریف‌تر شدند، نتایج واقعی تر شدند. برای نمونه، اعتقاد عمومی پیرامون دمای بیشینه در لحظه رمبش حباب، طی یک دهه پژوهش، از تخمین‌های ابتدایی K^{10^8} به تخمین‌های معقول‌تر امروزی حول و حوش K^{10^4} ، اصلاح شده است.

در این چند سالی که SBSL کشف شده است، به چگونگی و چرایی رخ دادن آن بیشتر پرداخته شده است. در اینجا نیز ایده‌های اساسی لازم را برای فهم کمی آوارخش تک‌حبابی توضیح می‌دهیم و در مورد وضعیت فعلی این عرصه و چیزهایی که تاکنون شناخته شده است، دیدی کلی به دست می‌آوریم.

با نگاهی کلی به این پدیده، فرآیندهای فیزیکی بسیار متنوعی را مشاهده خواهیم کرد. این فرآیندها را می‌توان بدین صورت رده‌بندی کرد: دینامیک سیالات و آکوستیک پدیده، انتقال گرما و جرم، واکنش‌های شیمیایی و در نهایت گسیل نور. در فصل‌های بعدی به طور مختص، جزئیات این فرآیندها را بررسی خواهیم کرد. سلسله رخدادهای آوارخش از تحریک بالون و مایع درون آن شروع شده و تا دینامیک حاکم بر دیواره و فضای درون حباب، ادامه می‌یابد. در شکل (۴-۱)، شعاع $R(t)$ حباب به صورت تابعی از زمان در یک سیکل از تحریک، نشان داده شده است؛ در نمودار ضمیمه شده در این شکل، کمترین بازه زمانی به اندازه $60\text{ ns} \approx$ ، حول و حوش لحظه رمبش، بزرگ شده است. در این ناحیه، دمای حباب به دلیل تراکم بی‌درروی آن، به طور ناگهانی افزایش می‌یابد و نور گسیل می‌شود.



شکل (۴-۱): محاسبه کلاسیکی دینامیک حباب برای دامنه فشار تحریکی $f = 26.5\text{ kHz}$ ، $P_a = 1/2\text{ atm}$ و شعاع محیطی $R_0 = 4.5\text{ } \mu\text{m}$. یک سیکل از نوسان $R(t)$ نشان داده شده است.

با توجه به شکل بالا، حباب تا حدود ده برابر شعاع محیطی اش، منبسط می‌شود و سپس با سرعت زیادی می‌رمبد و منجر به گرم شدن بی‌درروی گاز درون حباب می‌شود. پس از رمیش، پس‌جهش‌هایی به وجود می‌آید. بسامد این پس‌جهش‌ها در حدود بسامد ویژه حباب است. خطوط منقطع قائم و اعداد کوچک چاپ شده در بالای نمودار، بازه‌های زمانی ۱۰-۱ را تفکیک می‌کند (هر کدام از این بازه‌ها به طور مختصر در فصل ۴، بررسی می‌شوند). در هر کدام از این بازه‌ها، فرآیندهای فیزیکی مختلفی مهم می‌باشد. در مورد این فرآیندها در سرتاسر پایان‌نامه بحث خواهیم کرد. نمودار ضمیمه شده، کوچک‌ترین بازه 60 ns را حول لحظه تراکم بیشینه^{*}، نشان می‌دهد. در این نمودار، شعاع حباب در لحظه رمیش رایلی، واضح‌تر نشان داده شده است.

در باقی مانده این مقدمه، نگاهی کلی به حقایق تاریخی و تجربی برجسته موجود در این زمینه خواهیم انداخت و به طور کیفی، ایده‌ها و موضوعاتی را بررسی می‌کنیم که در درک این پدیده مؤثر هستند.

۱- نگاهی تاریخی

پس از کشف گایتان، نخستین هدف پژوهش‌ها، تعیین بازدهی یک تک‌حباب در متمرکز کردن انرژی بود. برای رسیدن به این هدف، باربر^۱ و همکارانش [۵ و ۱۴]، با مطالعه پاسخ یک لوله فوتون افزای^۲ به تابش ناشی از آواردخش، پهنه‌ای پالس نوری را اندازه گرفتند. پهنه‌ای این پالس کمتر از ps ۵۰ بود. اهمیت این اندازه گیری در این است که این اندازه پهنه‌ای پالس، از مدت زمانی که حباب در متراکم‌ترین حالتش باقی می‌ماند، بسیار کوچک‌تر است. مقیاس زمانی تراکم حباب، به طور تقریبی از طول بازه زمانی‌ای به دست می‌آید که یک موج صوتی در آن بازه، شعاع کمینه حباب را می‌پیماید. با سرعت صوت $c \sim 1000\text{ m/s}$ ، تخمین $s \sim 10^{-9}$ به دست می‌آید که بسیار بیشتر از پهنه‌ای پالس اندازه گیری شده است. در مکانیسم حفره‌سازی لرد رایلی، تمرکز انرژی همزمان با رمیش حباب است: این تناقض ما را به این نکته می‌رساند که در *SBSL*، گسیل نور مستقل از دینامیک حباب است.

بدین ترتیب جامعه علمی تهییج شد و پژوهش بر روی مکانیسم درست این پدیده آغاز شد. نخستین ایده مؤثر این بود که عامل تمرکز انرژی در حباب، یک ضربه^۳ کروی همگرا است [۱۵-۱۷]. از کار مهم گدیرلی^۴ (۱۹۴۲) به این نکته پی برده شده بود که چنین ضربه‌هایی انرژی را متمرکز می‌کند و دمای گاز بدون اتلاف به بینهایت واگرا می‌شود [۱۸]. پیش از این، جارمن^۵ (۱۹۶۰) امواج همگرا را به عنوان سرچشمه آواردخش چندحبابی پیشنهاد کرده بود [۱۹]. (چون در این تصویر، نور از ناحیه بسیار کوچک‌تری در مرکز حباب سرچشمه می‌گیرد) با ترکیب این

^۱ Barber

^۲ Photomultiplier

^۳ Shock

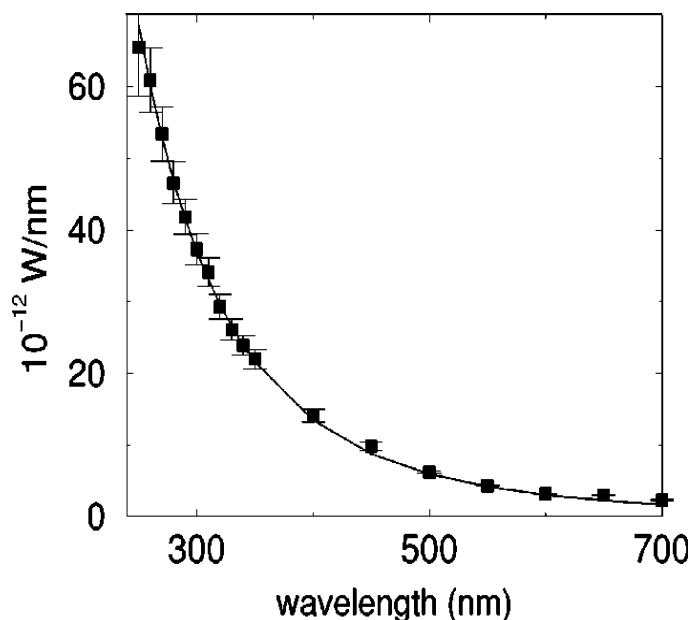
^۴ Guderly

^۵ Jarman

روش با مکانیسم رمبش حباب لرد رایلی، مکانیسم زیبایی برای تمرکز انرژی به دست می‌آید که مسئله پنهانی پالس نوری را با دقت بالایی حل می‌کند. در پی این کارها، شیوه‌سازی وو^۱ و رابرت^۲ (۱۹۹۳) به دمای بیشینه $K^{۱۰.۸}$ ، که واقعاً بسیار داغ است، دست یافت [۱۶].

طی چندین سال، داده‌های تجربی بسیاری درباره حباب‌های آوادرخشنده جمع‌آوری شده است. هیلر^۳ و همکارانش (۱۹۹۲، ۱۹۹۴ و ۱۹۹۸) طیف حباب هوای آوادرخشنده درون آب را اندازه‌گیری کردند و نشان دادند که شدت طیف در حرکت به سمت ناحیه فرابنفش، افزایش می‌یابد (شکل (۵-۱)). قله ظاهر شده در برخی طیف‌ها به دلیل جذب شدید طول‌موج‌های زیر 200 nm ≈ توسط آب درون بالون است. آوادرخش تک‌حبابی در تمایزی آشکار با طیف $MBSL$ ، دارای طیف پیوسته بدون خطوط طیفی است (شکل (۶-۱) را بینید). از آنجایی که گذارهای اتمی که منجر به خطوط می‌شوند، توسط فرآیندهای گسیل پیوسته در دماهای بالا، محو می‌شوند، نقاط خطوط طیفی در دماهای پایین‌تر قرار دارند. هیلر و همکارانش (۱۹۹۲)، با مقایسه طیف مشاهده شده با طیف گسیل شده از جسم سیاه، مانند کاری که در شکل (۵) انجام شده است، به این نتیجه رسیدند که حداقل دمای گاز،

۲۵۰۰۰ K است [۲۰].

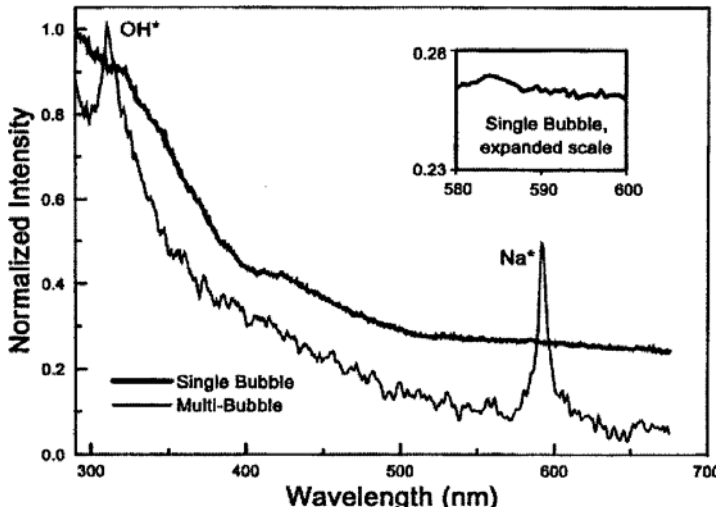


شکل (۵): طیف آوادرخش تک‌حبابی درون آب با دمای 22°C . نقاط داده‌ای مربوط به این شکل (۱) مرجع [۲۰] متعلق به هیلر و همکارانش باز ترسیم شده است. با متناسب کردن این نقاط با طیف جسم سیاه مربوط به دماهای مختلف، دماهای مختلفی را می‌توان پیشنهاد کرد. بهترین نتیجه که در اینجا به دست می‌آید، حدود 40000 K (خط سیاه) است که از مقدار 25000 K که توسط هیلر و همکارانش پیشنهاد شده است [۲۰]، بسیار بیشتر است.

^۱ Wu

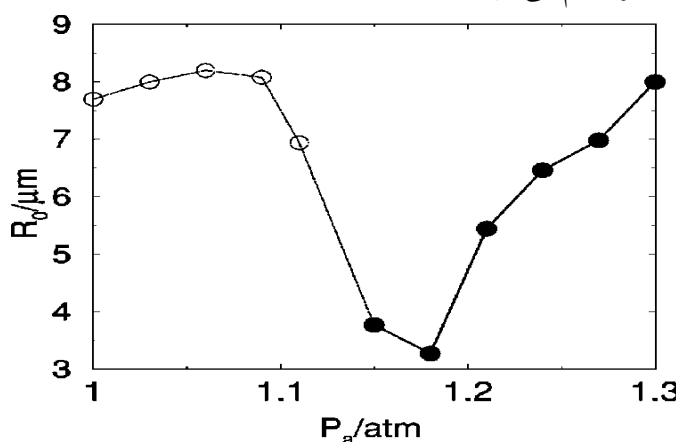
^۲ Roberts

^۳ Hiller



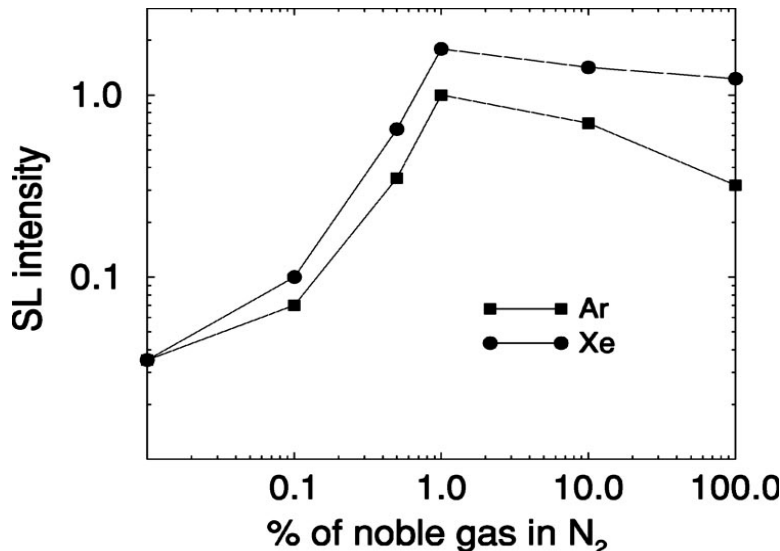
شکل (۶-۱): طیف $MBSL$ (خط نازک) و $SBSL$ (خط کلفت) در محلول کلرید سدیم 0.1 M . طیف‌ها نسبت به شدت بیشینه‌شان، بهنجار شده‌اند. به برجستگی طیف $MBSL$ ناشی از خط سدیم در حوالی 589 nm و نبودن این برجستگی در طیف $SBSL$ ، توجه کنید [۱۵۱].

باربر و همکارانش (۱۹۹۴) نشان دادند که هم شدت نور و هم دامنه نوسانات حباب، تنها نسبت به دامنه فشار محرک حساس نیستند بلکه نسبت به غلظت گاز حل شده در مایع، دمای مایع، یا مقادیر کم ناخالصی‌های فعال سطحی هم حساس هستند [۲۳-۲۵]. در شکل (۶-۱)، باربر و همکارانش (۱۹۹۴)، بستگی $R(t)$ و شدت کل نور را به دامنه تحریک حباب هوا در آب، نشان داده‌اند [۲۶]. هنگامی که دامنه تحریک افزایش می‌یابد، اندازه حباب به طور ناگهانی کاهش می‌یابد و پس از آن، نور پدیدار می‌شود. برای چندین سال، استدلال دقیق برای این حساسیت (که مکرراً در آزمایشات مشاهده می‌شد) مشکل بود، زیرا اغلب تغییر یکی از پارامترهای آزمایشگاهی مانند دمای آب، منجر به تغییر دیگر پارامترها هم می‌شود.



شکل (۶-۷): شعاع محیطی به صورت تابعی از دامنه فشار تحریکی P_a ، برای مخلوط گازی ۰.۹۵٪ نیتروژن و ۰.۰۵٪ آرگون در فشار 150 mmHg . علامت‌های توپر مربوط به حباب‌های آودرخشنده و علامت‌های توخالی مربوط به حباب‌های بدون درخشش هستند. به کاهش ناگهانی اندازه حباب، درست قبل از آستانه آودرخشن توجه داشته باشید [۹۴].

شاید شگفت‌انگیزترین یافته هیلر و همکارانش (۱۹۹۴)، یافتن حساسیت نسبت به نوع گاز درون حباب باشد [۲۱]: هنگامی که هوای حل شده در مایع با نیتروژن خالص جایگزین شود، پایداری ویژگی‌های SBSL از بین می‌رود. با گازی مرکب از ۸۰٪ نیتروژن و ۲۰٪ اکسیژن، هنوز هیچ آوارد خشی وجود نخواهد داشت. تنها هنگامی که گاز نجیب آرگون افزوده شود، گسیل نور SBSL باز خواهد گشت. شکل (۱-۸)، نموداری را



شکل (۱-۸): شدت آوارد خش (که با شدت به دست آمده از حباب هوا، بهنجار شده است) به صورت تابعی از درصد مولی گاز نجیب مخلوط شده با نیتروژن. در این شکل دو نوع گاز نجیب نشان داده شده است: زینون (●) و آرگون (■). در هر دو مورد، بیشینه شدت نور، در اطراف ۱٪ انحلال قرار دارد [۹۴].

از شدت آوارد خش به صورت تابعی از درصد گاز نجیب اضافه شده در نیتروژن، نشان می‌دهد. هم برای آرگون و هم برای زینون، حول ۱٪ غلظت آرگون در هوا، دارای قله است.

SBSL را با گاز نجیب خالص، در گستره‌ای بسیار گوناگون از غلظت‌های گاز، هم می‌توان به دست آورد: گایتان در نخستین آزمایش با هوا (۱۹۹۰)، با انجام گاززدایی، از فشار جزئی $P_{\text{air}}^{\text{air}} / P_{\text{air}}$ استفاده کرد و گسیل نور پایداری را مشاهده کرد [۲]؛ چنین آبی اگر با فشار $P = 1 \text{ bar}$ ، در تعادل اشباع قرار داشته باشد، حاوی ۴۰-۶۰٪ هوا خواهد بود. باربر و همکارانش (۱۹۹۵)، نشان دادند که هنگامی که از گاز آرگون خالص استفاده می‌شود، گاززدایی باید ۱۰۰ برابر قوی‌تر شود و برای به دست آوردن SBSL، فشار جزئی ای به کمی نیاز است [۲۷]. فشار $P_{\text{air}}^{\text{Ar}}$ ، فشار جزئی گاز استفاده شده در آزمایش، هنگام مهیا کردن مایع گاززدایی شده است.

در این مدت، باور عمومی در این عرصه این بود که ضربه‌ها، اساس تمرکز انرژی و گسیل نور از آوارد خش هستند. با این همه، در مورد جزئیات چگونگی انجام این فرآیندها، توافق کوچکی وجود دارد و مکانیسم‌های فیزیکی

بسیاری غیر از این پیشنهاد شده است. این مکانیسم‌ها شامل این موارد هستند: شکست دیالکتریک گاز [۲۸-۳۰]، گسیل نور شکست-القاء [۳۱]، تابش ترمی [۳۲ و ۳۳]، گسیل برخورد-القاء [۳۴-۳۶] و حتی اثر کازمیر^۱ کوانتم-الکترودینامیکی [۳۷ و ۳۸] که ایده اصلی آن به شوینگر^۲ (۱۹۹۲) تعلق دارد [۳۹].

مشکل ایده‌های مطرح شده این است که ارزیابی آنها نیازمند بررسی رمبش حباب با دقّتی بسیار فراتر از دقت امکانات آزمایشگاهی است. این امر، رابت آپفل^۳ را بر آن داشت تا در جلسه‌ای پیرامون آوارد خش در همایش سالانه انجمن آکوستیک آمریکا در هونولولو^۴ در سال ۱۹۹۶، بحث "مبارزه طلبی نظریه پردازان" را مطرح کند. هدف این مبارزه، ملموس و تجربی کردن پیش‌بینی‌ها بود. ایده‌های خلاق بسیاری در این همایش حضور داشتند که امروزه تنها کسری از آنها دوام آورده‌اند. یکی از اولین نتایج این همایش نظریه مشدد آکوستیکی بود که به دست کسانی که بر روی ذخیره انرژی در حباب کار می‌کردند [۴۰]، توسعه داده شد.

در تمام این مدت، این مطلب آشکار بود که بیشتر حقایق تجربی آوارد خش که با نظریه کلاسیکی دینامیک حباب توصیف می‌شدند، به گسیل نور ربطی نداشتند. مقیاس زمانی گسیل نور آن قدر از یک سیکل کامل تحریک آکوستیکی کوچک‌تر است که دینامیک حباب با توضیح موضوعاتی همچون پایداری حباب و محدودیت‌های پارامترهای فعال، بسیار فاصله دارد. تا جایی که لرد رایلی سرشت رمبش حفره‌ها را مشخص کرده است [۱۰]، دینامیک حباب به خوبی قابل درک است ولی با وجود پختگی کامل، این نظریه را برای پیش‌بینی سازوکار آوارد خش تک‌حبابی، هرگز نمی‌توان به کار برد.

دینامیک کلاسیکی حباب SBSL، شرایط تجربی را به طور اصولی توضیح می‌دهد. اولین مورد از این توضیحات در مقاله اول گایتان و همکارانش (۱۹۹۲) آورده شد که نشان دادند، شعاع حباب که تابع زمانی تجربی آن به دست آمده است، رفتاری مشابه با حل معادله رایلی-پلیست^۵ دارد [۲]. به دنبال آن، مطالعات لفستید^۶ و همکارانش (۱۹۹۳)، این نتایج را تأیید و به طور مفصل شرح دادند [۴۱ و ۴۲]. نظریه رایلی-پلیست فوق العاده ساده است و جنبه‌های مهم بسیاری از آوارد خش تک‌حبابی را در بر می‌گیرد. برای کسانی که با دینامیک کلاسیکی حباب کار می‌کردند، این توافق عالی واقعاً شگفت‌انگیز بود، زیرا در مدتی که این نظریه شناخته شده بود، حتی برای حباب‌هایی که تحریک آنها از حباب‌های SBSL ضعیف‌تر است، تناقضات بزرگی را نشان می‌داد [۴۳]. در سازوکار پارامتری SBSL، تحریک دوره‌ای امواج فشاری درون ظرف، منجر به پاسخ دوره‌ای حباب می‌شود که دقیقاً در هر دوره یک

^۱ Casimir

^۲ Schwinger

^۳ Robert Apfel

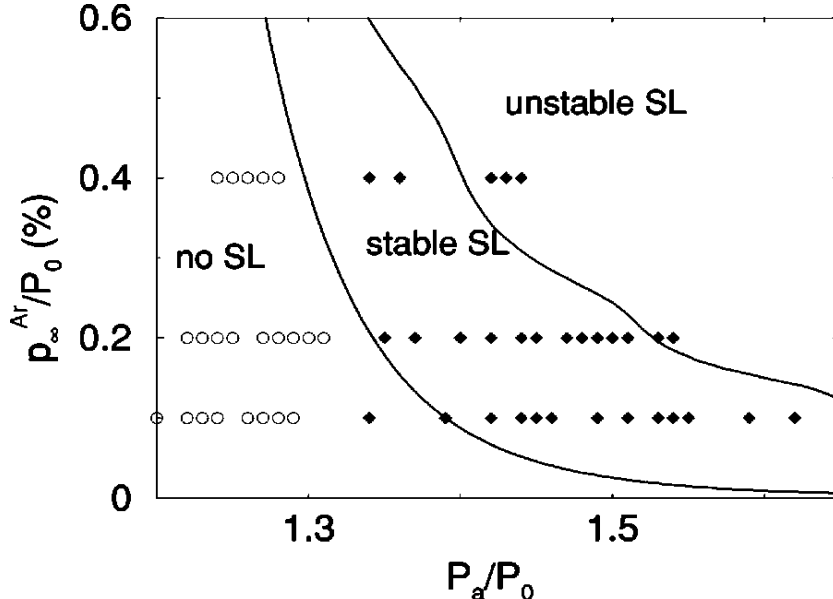
^۴ Honolulu

^۵ Rayleigh-Plesset

^۶ Löfstedt

رمبیش حفره‌ای رخ می‌دهد. در این فرآیند حرکات آشوبی به گونه‌ای چشمگیر وجود ندارد [۴۴ و ۴۵]. جنبه‌های کیفی و حتی پیشتر جنبه‌های کمی نوسانات حباب، با مشاهدات تجربی سازگار هستند. جواب معادله اعتبار آن را از بین می‌برد: در لحظه رمبیش حفره‌ای، سرعت دیواره حباب برابر یا فراتر از سرعت صوت است که بر خلاف فرضیات ضروری مسئله است. از آن جایی که مدّت زمان فراصوت شدن دیواره حباب، کسر کوچکی از یک سیکل می‌باشد، خطای ناشی از آن اثر خاصی بر روی باقی سیکل ندارد.

اگر جواب‌های معادله رایلی-پلست، با اندازه‌گیری‌های تجربی شاعع حباب توافق داشته باشند، پایداری این جواب‌ها، فضای پارامتری را که در آن $SBSL$ رخ می‌دهد، محدود می‌کند [۴۰، ۴۶ و ۴۷]. برای حباب سه ناپایداری عمده وجود دارد که باید از آنها دوری جست: (الف) ناپایداری‌های شکلی: شکل حباب نباید تغییر کند [۴۶ و ۴۷]؛ (ب) ناپایداری پخشی: با گذشت زمان، تعداد میانگین مولکول‌های گاز درون حباب، نباید تغییر کند [۴۸]؛ (ج) ناپایداری ژرکنس^۱: حباب از دام آکوستیکی که آن را در بر گرفته است، نباید بیرون بیفتد [۴۹-۵۱]. برای سازوکار پارامتری‌ای که در آن آودرخش رخ می‌دهد و نوسانات حباب غیرخطی است، این محدودیت‌ها بایستی برآورده شوند. بنابراین، فضای پارامتری مجاز $SBSL$ ، به گستره محدودی از غلظت‌های نسبی گاز c_{∞} / c_0 و دامنه‌های فشار محرک P_a ، شدیداً محدود می‌شود (شکل (۹-۱) را بینید).



شکل (۹-۱): نمودار فاز P_0^Ar / P_0 بر حسب P_a / P_0 در فضای پارامتری، بر اساس نظریه هیدرودینامیکی/شیمیایی هیلگنفلت و همکارانش [۴۷] و لاس و همکارانش [۵۲]. نوسان تحریک $f = ۳۳,۴ kHz$ است. سه فاز SL پایدار، SL ناپایدار و بدون SL ، نشان داده شده است. علامت‌ها، نتایج به دست آمده اندازه‌گیری‌ها را نشان می‌دهند [۵۴]. حباب‌های آودرخشندۀ پایدار با (♦) و حباب‌های بدون پایدار بدون آودرخش با (○) مشخص شده‌اند. توافق خوبی بین اندازه‌گیری‌ها و پیش‌بینی‌های نظری وجود دارد.

^۱ Bjerknes